



## سازوکار دایکی شدن و انتقال مذاب، توده گرانیتوئیدی میشو (شمال غرب ایران)

محمد مهری\*، محسن موید، آرزو سفیدگر، آرام سفیدگر، فرنود نعمتی

گروه زمین‌شناسی، دانشکده علوم طبیعی، دانشگاه تبریز، ایران

(دریافت مقاله: ۸۸/۴/۱۹، نسخه نهایی: ۸۸/۱۰/۲۲)

چکیده: توده گرانیتوئیدی میشو در شمال غربی کوههای میشو و جنوب غربی فروافتادگی فشاری مرند رخنمون یافته است. پاراژنز کانی‌شناسی این توده شامل کوارتز بی‌شکل تا نیمه شکلدار، فلدسپار پاتاسیم به دو فرم میکروکلین با ماکل مشبك و ارتوكلاز بی‌شکل تا نیمه شکلدار، دو نسل بیوتیت و زیرکن، پلاژیوکلاز نیمه شکلدار با ترکیب الیگوکلاز - آلیت، اپیدوت ماجمایی، تیتانیت و آپاتیت است. یک نسل از زیرکن‌ها و بیوتیت‌ها ویژگی‌های رستیتی نشان می‌دهند. نمونه‌های توده از بافت‌های شاخص تاثیر فشار هین تبلور (نظیر بافت میرمکیتی)، سمت‌یافتنگی ضعیف کانی‌های میکا، تکه‌های میکروکلین درون ارتوكلاز) تشکیل شده‌اند. نمونه‌های توده ویژگی‌های ژئوشیمیایی محیط‌های همزمان با برخورد و S نوع را نشان داده و نابر جایند. توده در منطقه‌ای به شدت گسلی واقع شده، و سن نسبی توده پالئوزوئیک است. سنگ خاستگاه توده مخلوطی از متاگریوک و متاپلیت است. ویژگی‌های صحرایی، کانی‌شناسی، ژئوشیمیایی توده، وجود برونبوهم‌های غنی از میکا در سنگ‌های توده در کنار توده‌های نعل اسبی، صعود سریع در اثر دایکی شدن با انتشار شکستگی را به عنوان سازوکار اصلی انتقال مذاب و باقی ماندن دو نسل زیرکن و بیوتیت در سنگ‌های توده را نشان می‌دهد. از این‌رو فرایند گتبده شدن در جای‌گیری توده و سرشتی‌های آن تاثیر ناچیزی داشته است.

واژه‌های کلیدی: توده‌ی میشو، بیوتیت رستیتی، سازوکار صعود، دایکی شدن.

موجود در آن‌ها]. دو ساز و کار اصلی صعود ماگما در پوسته‌ی قاره‌ای شامل صعود گنبدهای [۶، ۷] و دایک‌های با انتشار شکستگی [۲، ۸] در نظر گرفته شده‌اند. به دلیل صعود سریع مذاب به وسیله‌ی دایک‌ها [۷] دایکی شدن، ساز و کار مستعد و منطقی ماگمای گرانیتی برای انتقال (قائم) در بین پوسته‌های ضخیم و جای‌گیری ماگما در سطح بالای درنظر گرفته شده است [۱، ۹، ۲]. برای بررسی بیشتر به [۱، ۲] مراجعه شود. در این مقاله سعی شده است تا با کنار هم نهادن شواهد موجود در یک توده‌ی گرانیتوئیدی (گرانیتوئید میشو)، شامل شواهد و ویژگی‌های کانی‌شناسی، ژئوشیمیایی و دما و فشار، پتروژنیز و ساز و کار صعود این توده را شبیه‌سازی و کنیم.

مقدمه گرانیت‌ها بخش بزرگی از پوسته‌ی قاره‌ای را ساخته [۱] و در توضیح تکامل و تشکیل آنها مدل‌های متعددی [۱، ۲] مورد توجه قرار گرفته است. مدل رستیت اختلاط نیافته [۱] عموماً همراه با رده‌بندی S و I گرانیت‌ها بوده و تصویری از ترکیب گرانیت‌ها و سنگ‌های خاستگاه آن‌ها به روش ساده‌ای فراهم می‌کند [۱].

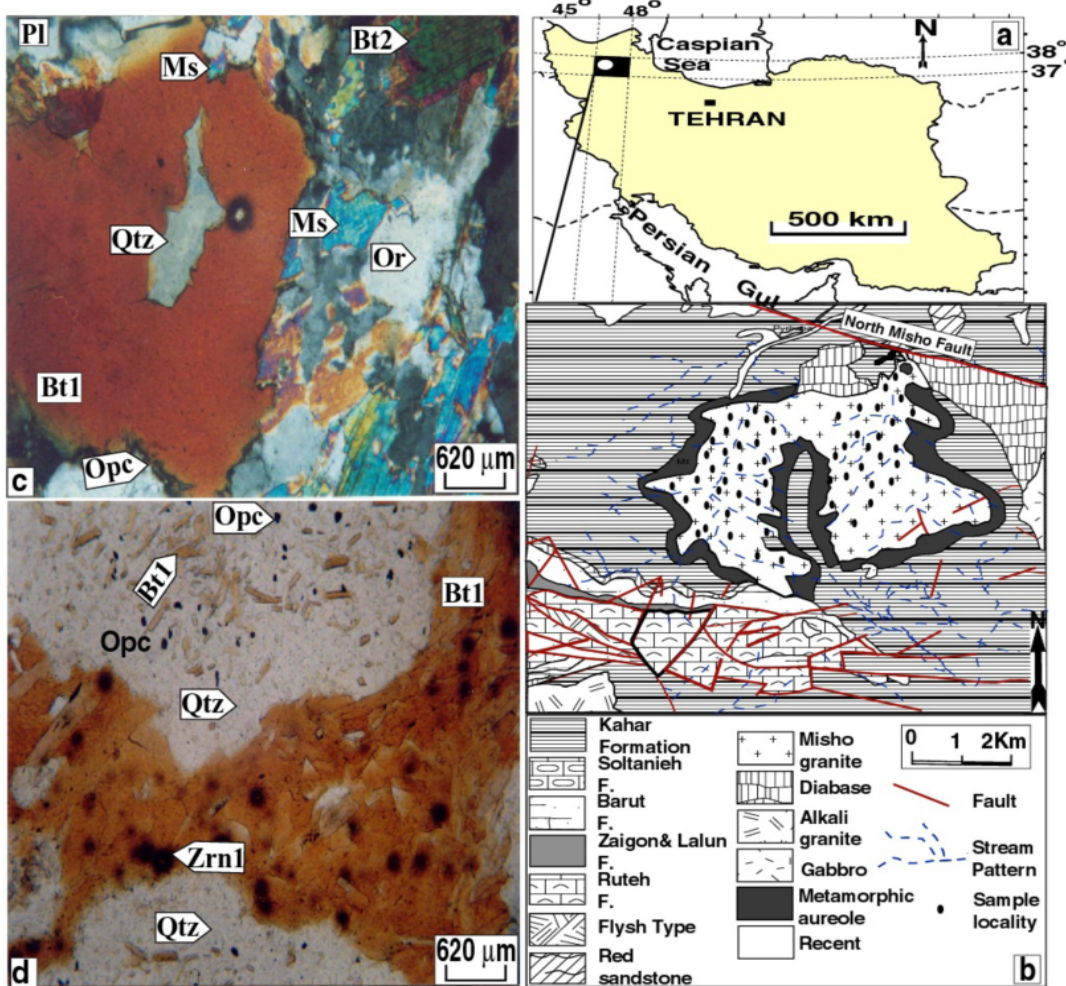
بیوتیت [۱، ۳، ۴]، گارنت، زیرکن به ارث رسیده [۱] به صورت کانی‌های رستیتی در گرانیت‌های نوع S توصیف شده‌اند.

ساز و کار جدایش مذاب از محل تشکیل، انتقال مذاب و جای‌گیری نیز همواره مورد توجه بوده است [۲، ۵] و منابع

\* نویسنده مسئول، تلفن: ۰۴۱۱۳۳۴۱۲۴۴، نامبر: ۰۴۱۱۳۳۴۰۰۸۱، پست الکترونیکی: Mehri.moh@gmail.com

استفاده از رشته نیکل انجام گرفت. آنالیز نقطه‌ای کانی‌های مختلف توده در «آزمایشگاه مرکز تحقیقات و فراوری مواد معدنی وابسته به سازمان توسعه و نوسازی معادن ایران (در شهر کرج)» انجام گرفت. در آنالیزهای نقطه‌ای اندازه‌ی باریکه، نور کاربردی برابر  $20\text{ }\mu\text{m}$  میکرومتر بوده و از ولتاژهای  $15\text{ Kev}$  جریان  $10\text{ nA}\text{m}^{-2}$  استفاده شد. تاکید اصلی این کار پژوهشی بر بررسی‌های صحرایی و سنگ نگاشتی بوده و تحلیل‌های حاصل از آن با نتایج آنالیزهای شیمیایی (جدول ۱) برای افزایش اطمینان و درستی تحلیل‌ها مقایسه شدند. از طرفی شواهد موجود در این توده با بررسی‌های متعدد انجام گرفته در نقاط مختلف دنیا نیز مقایسه شدند تا جایی که امکان داشت ارزیابی ویژگی‌های توده و تحلیل نهایی، درصد خطای بسیار کمتری داشته باشد.

**روش بررسی**  
بررسی‌های انجام شده در این کار پژوهشی، شامل بررسی‌های صحرایی و بررسی سرشتی‌های سنگ‌شناسی توده بوده است. از نمونه‌های سالم جمع آوری شده از توده (موقعیت‌های نمونه‌ها در نقشه و شکل ۱) نشان داده شده‌اند، مقاطع میکروسکوپی در آزمایشگاه سنگ‌شناسی دانشگاه تبریز با ضخامت  $25 - 30\text{ }\mu\text{m}$  میکرومتر تهیه شدند و بررسی جامع این نمونه‌ها در بزرگنمایی‌های متفاوت انجام شد و سرشتی‌های کانی‌شناسی، نوری، بافت‌شناسی آن با استفاده از میکروسکوپ نوری تعیین شدند و با دوربین با قدرت تشخیص  $2\text{ Mpix}$  از برخی سرشتی‌های کانی‌شناسی توده تصویر برداری شد. تعداد ۱۹ از نمونه‌ی سالم توده به روش‌های XRD و XRF در آزمایشگاه پرتو ایکس وزارت دفاع مورد آنالیز قرار گرفتند. آنالیزهای XRF با ولتاژ  $40\text{ kV}$  و جریان  $30\text{ mA}$  و با



شکل ۱ نقشه‌ی زمین‌شناسی و موقعیت گستره‌ی مورد بررسی (a, b)، بیوپتیت‌های دارای زیرکن با حاشیه گستره‌ی متامیکت شده (c) زیرکن‌ها و بیوپتیت‌های نسل اول (d, e)، تشکیل مسکوکیت در کنار بیوپتیت در سنگ‌های توده‌ی (c).

جدول ۱ نتایج آنالیز نقطه‌ای پلازیوکلازهای موجود در سنگ‌های توده‌ی میشو.

	نقطه ۱	نقطه ۲	نقطه ۳	نقطه ۴		نقطه ۱	نقطه ۲	نقطه ۳	نقطه ۴
Mol. Props.									
SiO <sub>2</sub>	۶۵/۴۳	۶۵/۲۸	۶۵/۵۷	۶۵/۰۳	SiO <sub>2</sub>	۱/۰۸۹	۱/۰۸۶۵	۱/۰۹۱۳	۱/۰۸۲۳
TiO <sub>2</sub>	.	.	۰/۰۵	۰/۰۴	TiO <sub>2</sub>	.	.	۰/۰۰۰۶	۰/۰۰۰۵
Al <sub>2</sub> O <sub>3</sub>	۲۲/۱۱	۲۲/۲۱	۲۱/۹۲	۲۱/۴۵	Al <sub>2</sub> O <sub>3</sub>	۰/۲۱۶۸	۰/۲۱۷۸	۰/۲۱۵	۰/۲۱۰۴
FeO	۰/۱۴	۰/۰۲	۰	۰	Cr <sub>2</sub> O <sub>3</sub>	۰/۰۰۱	۰	۰/۰۰۰۱	۰
CaO	۳/۱۳	۳/۲	۳/۱۸	۳/۶۸	FeO1.5	۰/۰۰۱۹	۰/۰۰۰۳	۰	۰
Na <sub>2</sub> O	۱۰/۴۳	۱۰/۶۲	۱۰/۵	۱۰/۴	CaO	۰/۰۵۵۸	۰/۰۵۷۱	۰/۰۵۶۷	۰/۰۵۶۵
K <sub>2</sub> O	۰/۰۹	۰/۱۱	۰/۱۱	۰/۰۵	Na <sub>2</sub> O	۰/۱۶۸۳	۰/۱۷۱۳	۰/۱۶۹۴	۰/۱۶۷۸
Total	۱۰۱/۳۴	۱۰۱/۴۴	۱۰۱/۳۴	۱۰۰/۶۵	K <sub>2</sub> O	۰/۰۰۱	۰/۰۰۱۲	۰/۰۰۱۲	۰/۰۰۰۵
Oxygen prop.									
SiO <sub>2</sub>	۲/۱۷۷۹	۲/۱۷۲۹	۲/۱۸۲۶	۲/۱۶۴۶	Total	۱/۵۳۲۹	۱/۵۳۴۲	۱/۵۳۴۳	۱/۵۲۷۱
TiO <sub>2</sub>	.	.	۰/۰۰۱۳	۰/۰۰۱	Norm. factor	۲/۶۱۷	۲/۶۱۷	۲/۶۱۸	۲/۶۴
Al <sub>2</sub> O <sub>3</sub>	۰/۶۵۰۵	۰/۶۵۳۵	۰/۶۴۵	۰/۶۳۱۱	فرمول	۸(O)	۸(O)	۸(O)	۸(O)
Cr <sub>2</sub> O <sub>3</sub>	۰/۰۰۰۲	۰	۰/۰۰۰۲	۰	Si	۲/۸۵	۲/۸۴۴	۲/۸۵۷	۲/۸۵۷
FeO1.5	۰/۰۰۲۹	۰/۰۰۰۴	۰	۰	Ti	.	.	۰/۰۰۲	۰/۰۰۱
CaO	۰/۰۵۵۸	۰/۰۵۷۱	۰/۰۵۶۷	۰/۰۶۵۶	Al	۱/۱۳۵	۱/۱۴	۱/۱۲۵	۱/۱۱۱
Na <sub>2</sub> O	۰/۱۶۸۳	۰/۱۷۱۳	۰/۱۶۹۴	۰/۱۶۷۸	Fe+++	۰/۰۰۵	۰/۰۰۱	۰	۰
K <sub>2</sub> O	۰/۰۰۱	۰/۰۰۱۲	۰/۰۰۱۲	۰/۰۰۰۵	Ca	۰/۱۴۶	۰/۱۴۹	۰/۱۴۸	۰/۱۷۳
Total	۳/۰۵۶۷	۳/۰۵۶۴	۳/۰۵۶۳	۳/۰۳۰۷	Na	۰/۸۸۱	۰/۸۹۷	۰/۸۸۷	۰/۸۸۶
Na / (Na+K+Ca)	۰/۸۵	۰/۸۵	۰/۸۵	۰/۸۳	K	۰/۰۰۵	۰/۰۰۶	۰/۰۰۶	۰/۰۰۳
Ca / (Na+Ca)	۰/۱۴	۰/۱۴	۰/۱۴	۰/۱۶					

شرقی دارند. کوههای میشو به صورت بالا زده بین دو شاخه‌ی اصلی گسل‌های یاد شده در منطقه‌ای به شدت گسل خورده قرار گرفته و جزء مناطق برشی محسوب می‌شود. در برخی از کوارتزهای توده که در زون برشی واقع شده‌اند، خردشکی شدیدی دیده می‌شود. شکل ظاهری توده نعل اسپی (شکل ۱b) و طویل شده است که احتمالاً بیانگر دایکی شدن و پرشدگی شکستگی با ماغما به عنوان ساز و کار اصلی جای-گیری است [مشابه با ۱۱، ۱۲]. گرانیتوئید میشو به صورت سنگ‌های تمام بلورین، لوکو تا مزوکرات، دانه دانه با بلورهای درشت فلدسپار و بیوپتیت قابل مشاهده در مقیاس نمونه‌ی دستی بوده و انبوهه‌هایی از بیوپتیت در آن دیده می‌شود. دایک-

زمین‌شناسی منطقه توده‌ی گرانیتوئیدی میشو در گستره‌ی طول‌های جغرافیایی "۱۳° ۴۵'۳۵" - "۴۵°۳۵'۳۵" تا "۴۵°۳۸'۳۸" شرقی و عرض‌های جغرافیایی "۴۸° ۲۷'۲۲" - "۳۸°۱۹" شمالی، در شمال غربی ایران قرار گرفته است. این توده در دامنه‌ی شمالی کوههای میشو قرار گرفته (شکل ۱b, ۱a) و در سنگ‌های دگرگونی درجه پایین سازندکهر نفوذ کرده و هاله‌ی دگرگونی مجاورتی در آن به وجود آورده است. سن نسبی توده به پالکوزوئیک نسبت داده شد [۱۰].

توده‌ی نفوذی یاد شده بین دو گسل اصلی شمال و جنوب میشو قرار گرفته است که هر دو گسل روند شمال‌غربی - جنوب

قرار گرفتن قطعات آهکی در مذاب نیز بهندرت مشاهده می-شود. اسفن نیز در اطراف زینوکریستهای کربناتی دیده شدند (شکل ۲۰,۲a) که ناشی از واکنش مذاب سیلیکاتی با قطعات آهکی تشکیل شده است.

#### کانی شناسی نمونه های توده

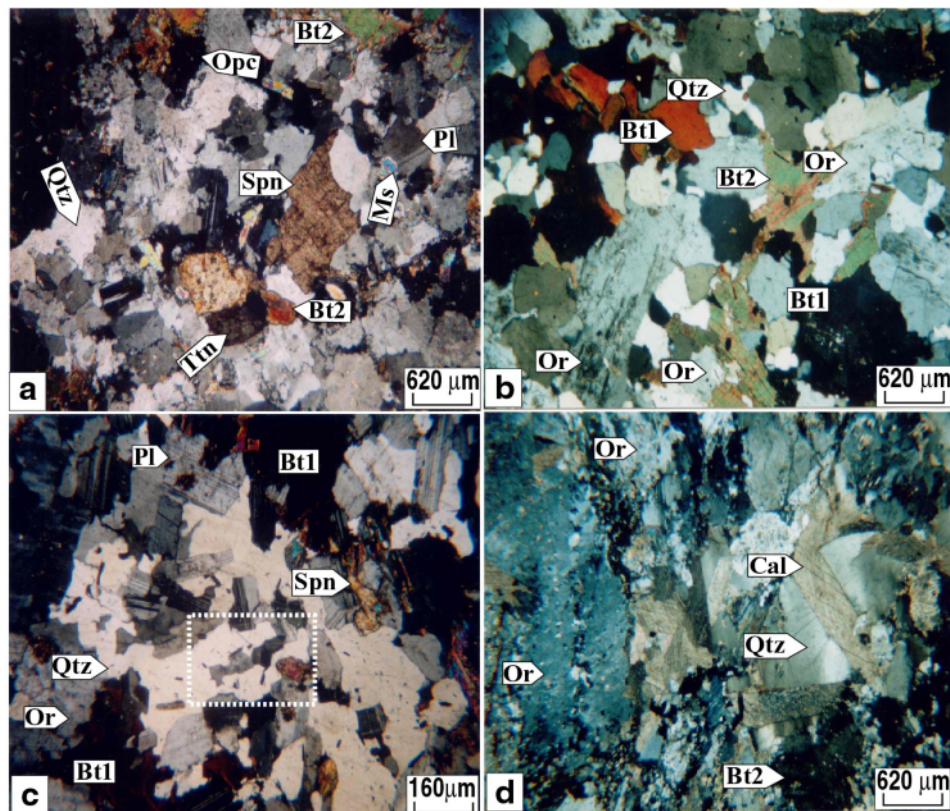
کوارتز به صورت بی شکل تا نیمه شکلدار (شکل ۳a,۳b,۳c)، در دو اندازه متفاوت مشاهده می شود. کوارتز دارای ادخال هایی از زیرکن، آپاتیت سوزنی و میله ای، به ندرت تورمالین و بیوتیت کلریتی شده ریز بلورند. در برخی بلورهای کوارتز، خوردگی های خلیجی شکل مشاهده می شود (شکل ۲c). کوارتز گاه خاموشی موجی نشان می دهد و دارای ادخال های شکلدار کانی های دیگر است. حضور عمومی ادخال های شکلدار در کانی های کوارتز تغییر شکل نیافته به رخ ندادن تغییرات گستردگی شکل دانه در شرایط نیمه جامد حین سرد شدن تدریجی ماقما نسبت داده شده است [۱۴، ۱۵]. کوارتز های ریز دانه به صورت ادخال های کروی و حبابی شکل در کناره ها و مرکز پلازیوکلаз (شکل ۳b) دیده می شوند (میرمکیت) که می توان آنرا به رشد دانه در حالت کوارتز جامد در فلدسپار [۱۶، ۱۷] و یا تشکیل در فرایندهای همزمان با تبلور نسبت داد، خصوصاً که این دانه ها خاموشی عادی دارند.

های متعددی با ترکیب دیابازی و آپلیتی توده را قطع کرده اند. برونویوم های بیضوی تا عدسی شکل، غنی از بیوتیت، با حواشی دندانه دار و اندازه هی چند تا ده سانتیمتر در سنگ های توده دیده می شوند. انبوه های بیوتیت [۳] احتمالاً خاستگاه رستیتی داشته و غنای بیوتیت در این برونویوم ها احتمالاً نشانگ خاستگاه رسوی آن هاست. علائم اختصاری کانی ها از [۱۳] اقتباس شده اند.

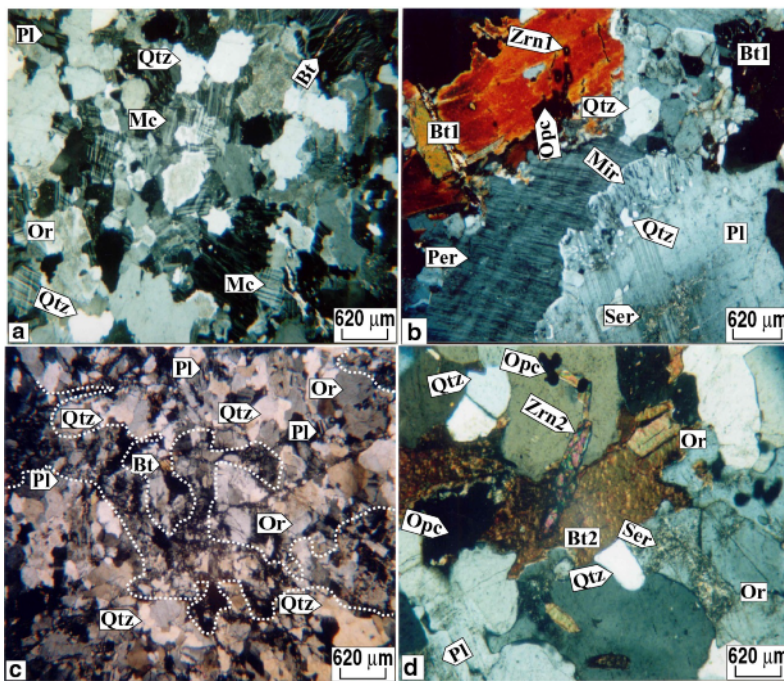
#### سنگ نگاشتی سنگ های توده ی میشو

سنگ های گرانیتی توده های میشو دارای کوارتز (شکل ۱c, ۱d, ۲c, ۲a)، میکروکلین، پلازیوکلاز، ارتوکلاز، بیوتیت (شکل ۲b)، مسکویت (شکل ۱c)، آپاتیت، زیرکن و اپیدوت ماقمایی هستند.

بافت اصلی سنگ دانه ای نیمه شکل دار است. بافتهای پر تیتی، میرمکیتی نیز به عنوان بافتهای فرعی در سنگ دیده می شوند. بافتهای پر تیتی در ارتوکلاز و میکروکلین و نیز بافتهای میرمکیتی در کرانه های و در مرکز پلازیوکلاز شکل گرفته اند. آپاتیت شکل دار و ستونی و به صورت ادخال در کانی ها دیده می شود. کلریت، کانی های رسی، کانی های اکسیدی (شکل ۱d) و اسفن (شکل ۲a) ناشی از دگرسانی کانی های دیگر بوده و زینوکریستهای کربناتی (شکل ۲d) در نتیجه هی



شکل ۲ اسن‌های موجود در نمونه‌ها (a) همراه با بیوتیت‌های نسل دوم (a)، بیوتیت‌های نسل دوم (b، c)، زینوکریست‌های کربناتی درون نمونه‌های توده‌ی (d)، کوارتز‌های بی‌شکل و پرکننده‌ی فضای بین کانی‌ها (c).



شکل ۳ تشکیل میکروکلین در کنار ارتوز و کوارتز‌های دارای کرانه‌های خلیجی (a)، بیوتیت‌های نسل اول در کنار پرتویت‌ها (b) و میرمکیت‌های پیرامون پلازیوکلاز (b)، خردشده‌ی کانی‌های کوارتز در اثر زمین‌ساختی پس از جای‌گیری (c)، زیرکن‌های نسل دوم و ماجمای بر روی بیوتیت‌های نسل دوم (d).

دارای ادخال‌های زیرکن با کرانه‌های گستره‌ی متامیکت شده است (شکل ۳b، ۲b، ۱d، ۳c) که این زیرکن‌ها می‌توانند به ارث رسیده باشند [۱]. این نسل بیوتیت‌ها رستیتی و نسل اول محسوب شده خصوصاً که وجود همرشدی با کوارتز نیز شاخصی از رستیتی و نسل اول بودن [۱۸] آن‌هاست. بیوتیت به صورت بلورهای تقریباً شکل‌دار با ادخال‌های شکل‌دار زیرکن بدون حاشیه واکنشی دارای رخ‌هایی روشن و چندرنگی قهقهه‌ای روشن نیز دیده می‌شود (شکل ۲b). بیوتیت به صورت ادخال‌های نیمه‌شکلدار، سوزنی و کلریتی شده نیز در برخی کانی‌ها دیده می‌شود.

در گرانیت‌بُد میشو پلازیوکلاز عموماً به صورت بلورهای نیمه‌شکل‌دار تا شکل‌دار و دارای ماکل چندترکیبی دیده می‌شود (شکل ۳a، ۲c). پلازیوکلاز‌های موجود در این توده آلبیت تا الیگوکلاز بوده (جدول ۲) و پلازیوکلاز‌ها کمی سریسیتی شده‌اند (شکل ۳b) و دارای ادخال‌های زیرکن، آپاتیت و بیوتیت ریز و شکل دارند. ترکیب شیمیایی پلازیوکلاز (جدول ۲) سدیک بوده که از کرانه به مرکز کاهش تدریجی محتوای

کانی‌های فلدسپار قلیایی موجود در این توده به دو شکل میکروکلین دارای ماکل‌های مشبک و ارتوكلاز بی‌شکل تا نیمه‌شکلدار است (شکل ۳a، ۳d). ارتوكلاز به دو صورت پرتویتی و تک بلور مشاهده می‌شود (۳b). ارتوكلاز پرتویتی و نوع تک بلور گاه دارای تکه‌های جانشین شده میکروکلین است (۳a). وجود این دو شکل ارتوكلاز در کنار هم ممکن تبلور در شرایطی است که تغییرات کانی‌شناسی گستره‌ی و زمان لازم برای این تغییرات ممکن نبوده است. ارتوكلاز پرتویتی در مقاطع با حالت رشتی و ریسمانی نیز دیده می‌شود (شکل ۳b) که بلورهای بدون دگرسانی را نشان می‌دهد. میکروکلین شکلدار تا بی‌شکل به صورت درشت بلور ( جدا و مستقل ) و بلورهای ریز درون ارتوكلاز دیده می‌شود که بافت مشبک شاخص را نشان می‌دهد. میکروکلین نیزگاه پرتویتی شده است. به طور کلی کانی‌های فلدسپار قلیایی دگرسانی ناچیزی نشان می‌دهند.

نسل اول بیوتیت در نمونه‌ها دارای چندرنگی قهقهه‌ای پررنگ و کرانه‌های با انبوه‌هایی از کانی‌های اکسیدی، چندبری و با سمت یافتگی ضعیف است. این نسل بیوتیت

پلازیوکلازهایی که تغییر شکل نیافته‌اند نشانگر انجام نشدن تغییرات شکل دانه به صورت گستردگی در شرایط نیمه جامد در حین سردشدن تدریجی مانع از گرانیتی است [۱۵].

**جدول ۲** نتایج آنالیز شیمیایی نمونه‌های گرانیتی میشو، نسبت‌های مختلف عناصر و میزان کرونوم استاندارد (C Norm) و دمای اشباع زیرکن [۳۴] بر اساس (T o C)

sample	G4	G6	G7	G8	G105	G109	G5	G108	G101	G111	RY2	DB5G2DB4G1	DB2	ANK2	G112	G106	ANK1	G107	میانگین	
SiO <sub>2</sub>	۷۰/۱۳	۷۰/۷	۶۷/۸	۷۰	۶۹/۵	۶۹/۸	۶۹	۶۹/۶	۶۸/۲	۷۲/۲	۷۳	۵۶/۸۴	۵۷/۲۵	۷۳/۱	۶۰/۴۴	۶۷	۶۵/۹	۵۹/۹۸	۶۶/۷	۶۷/۲۲
TiO <sub>2</sub>	۰/۴۶۱	۰/۳۳	۰/۴۶	۰/۴	۰/۴۵	۰/۵	۰/۴	۰/۴۲	۰/۴۱	۰/۳۷	۰/۱	۰/۴۵	۰/۱۶۴	۰/۳۲	۰/۷۹۵	۰/۴	۰/۳۸	۰/۷۶۲	۰/۳۳	۰/۴۱۸
Al <sub>2</sub> O <sub>3</sub>	۱۵/۹۳	۱۵/۷	۱۵/۷	۱۷	۱۵/۹	۱۶/۸	۱۶	۱۶/۱	۱۶	۱۵/۲	۱۵	۱۸/۲۸	۱۹/۹۷	۱۵	۱۷/۹۱	۱۸	۱۷/۲	۱۷/۰۱	۱۷/۵	۱۶/۵۶
Fe <sub>2</sub> O <sub>3</sub> (t)	۳/۱۷	۲/۳۹	۳/۱۹	۳	۲/۱۵	۳/۱۴	۲/۸	۲/۹۲	۲/۸۳	۲/۳	۰/۵	۸/۸۵	۷/۵۵	۲/۵۴	۶/۸۴	۴/۳	۵/۳۳	۱۰/۰۵	۴/۳۸	۴/۱۹
MnO	۰/۰۳۲	۰/۰۲	۰/۰۴	۰	۰/۰۴	۰/۰۳	۰	۰/۰۳	۰/۰۲	۰/۰۲	۰	۰/۱۹	۰/۱۹۹	۰/۰۳	۰/۰۶۲	۰	۰/۰۳	۰/۰۶	۰/۰۳	۰/۰۵
MgO	۰/۷۹	۰/۴۹	۰/۷۶	۰/۷	۰/۸۸	۰/۸۴	۰/۶	۰/۶۱	۰/۶	۰/۶	۰	۰/۵۴	۰/۲	۰/۵	۱/۸۳	۰/۴	۰/۸۵	۲/۲۸	۰/۷۹	۰/۷۴
CaO	۱/۱۷	۰/۹۲	۱/۰۹	۱/۱	۱/۱۷	۰/۷	۱	۱/۰۲	۰/۸۶	۱/۴	۰/۴	۲/۳۴	۱/۵۳	۰/۸۲	۱/۳۵	۲/۹	۱/۱۳	۰/۹	۱/۱۸	۱/۲۱
Na <sub>2</sub> O	۲/۳۸	۲/۴۱	۲/۴۲	۲/۲	۲/۵۴	۲/۸۷	۲/۵	۲/۳۶	۲/۰۴	۲/۶۶	۰/۱	۳/۸۶	۴/۲۸	۲/۳۶	۲/۷۲	۱/۹	۲/۵۵	۱/۴۶۸	۲/۶۸	۲/۴۳
K <sub>2</sub> O	۴/۷۲	۴/۹۱	۴/۳۱	۴/۱	۴/۲۴	۴/۵	۴/۶	۴/۱۷	۳/۹۶	۱/۷۱	۹/۴	۴/۸۵	۵/۳۷	۴/۱۳	۳/۵۵	۳/۳	۳/۹	۵/۰۶	۴/۱۹	۴/۴۷
P <sub>2</sub> O <sub>5</sub>	۰/۱۲۸	۰/۱	۰/۱۲	۰/۱	۰/۱۱	۰/۱۳	۰/۱	۰/۱۱	۰/۱۱	۰/۰۸	۰	۰/۲۹۷	۰/۱۴۸	۰/۱۱	۰/۱۳۲	۰	۰/۰۶	۰/۱۷۳	۰/۱	۰/۱۲
Total	۹۸/۹۱	۹۸	۹۵/۹	۹۸	۹۷/۷	۹۹/۶	۹۷	۹۷/۳	۹۵/۱	۹۶/۶	۹۸	۹۶/۵	۹۶/۶۶	۹۸/۸	۹۵/۵۲	۹۸/۸	۹۷/۷۴	۹۸/۸	۹۷/۴۶	
Al <sub>2</sub> O <sub>3</sub> /TiO <sub>2</sub>	۳۴/۵۵	۴۷/۸	۳۴/۲	۳۸	۳۵/۷	۳۲/۷	۴۱	۳۷/۴	۳۸/۷	۴۱/۴	۱۰/۱	۴۰/۶۲	۱۲۱/۸	۴۶/۳	۲۲/۵۲	۴۸	۴۵/۳	۲۲/۳۲	۵۳/۵	۴۶/۵۲
La	۴۲	۴	۳۶	۱۴	۲۲	۲۰	۱۳	۲۲	۱۱	۱۴	۹	۵۶	۴۲	۱۴	۲۲	۹	۲۱	۶۳	۲۸	۲۴
Ce	۵۵	۲	۴۶	۲۴	۴۰	۲۹	۲۶	۳۶	۳۳	۱۷	۲۲	۱۶۱	۱۹۸	۴۴	۳۸	۷	۴۷	۳۸۸	۲۴	۶۵
Y	۲۹	۲۵	۲۶	۲۹	۲۷	۲۷	۲۸	۲۹	۲۵	۳۴	۲۱	۲۷	۳۳	۲۵	۲۴	۳۶	۳۴	۳۷	۲۸	۲۹
Rb	۱۴۹	۱۳۷	۱۳۲	۱۴۳	۱۳۱	۱۲۷	۱۴۱	۱۴۳	۱۱۵	۶۴	۱۱۴	۹۰	۱۰/۳	۱۲۵	۸۸	۱۴۴	۱۸۰	۲۶۰	۱۶۸	۱۳۴
Sr	۷۷	۶۳	۸۴	۷۴	۸۹	۹۴	۷۵	۷۶	۹۴	۱۷۲	۱۶	۱۳۴	۴۴	۶۸	۸۰	۱۱۸	۸۸	۹۶	۸۶	۸۶
Ba	۸۱۴	۶۷۴	۸۹۶	۷۸۷	۸۲۸	۸۲۷	۵۹۷	۷۰۰	۶۸۱	۱۳۲۳	۸۵۵	۸۰/۵	۱۱۴	۳۸۶	۷۵۳	۶۰/۷	۶۲۶	۱۷۳۳	۶۹۳	۷۷۴
Zr	۱۶۹	۱۱۶	۱۷۶	۱۷۴	۱۵۶	۲۰۱	۱۵۴	۱۸۸	۱۵۷	۸۱	۱۵۰	۵۱۵	۶۶۰	۱۴۵	۱۶۹	۱۹۸	۱۸۴	۲۰۸	۲۱۱	
Hf	۸	۵	۶	۳	۹	۷	۲	۵	۱	۶	۸	۱۱	۹	۱۳	۵	۲	۷	۵	۱۱	۶
Nb	۹	۵	۸	۱۱	۸	۸	۱۰	۱۲	۹	۸	۹	۷۷	۹۹	۸	۱۱	۹	۱۱	۸	۱۱	۱۷
Pb	۲۱	۲۰	۲۵	۱۴	۲۲	۱۴	۱۸	۱۵	۱۸	۱۴	۷	۸	۱۱	۱۷	۱۲	۳۳	۱۳	۴۰	۱۴	۱۸
Th	۱۰	۱۱	۹	۸	۱۰	۱۴	۶	۶	۷	۸	۱۵	۴	۱۱	۱۰	۱۶	۱۷	۱۶	۱۳	۱۷	۱۱
U	۴	۴	۴	۱	۷	۶	۶	۲	۳	۱	۷	۲	۸	۱	۷	۹	۸	۶	۹	۵
T <sup>۰</sup>	۸۲۸	۷۸۶	۸۲۴	۸۲۴	۸۱۲	۸۳۹	۸۱۱	۸۲۶	۸۲۷	۷۷۰	۸۰/۴	۸۸۳	۹۲۳	۸۱۲	۸۲۰	۸۲۲	۸۳۳	۸۴۴	۸۳۹	۸۲۸
Rb/Sr	۱/۹۴	۲/۲	۱/۶	۱/۹	۱/۵	۱/۴	۱/۹	۱/۹	۱/۲۲	۰/۳۷	۴/۱	۰/۶۷	۲/۳۴	۱/۸	۱/۱	۱/۲	۲/۱	۲/۷۱	۲	۰/۹۹
C (Norm)	۵/۰/۸	۵/۰/۱	۵/۳/۷	۷/۱	۵/۲/۳	۶/۲/۱	۵/۳	۶/۱	۷/۰/۹	۶/۶/۱	۳/۵	۳/۱۳	۴/۶/۸	۵/۳/۷	۷/۴/۵	۵/۶	۶/۸/۱	۷/۸/۹	۶/۶/۴	۵/۷/۹

برای تشکیل مقادیر زیاد مسکویت می‌تواند متاثر از صعود سریع مذاب در حین تبلور در اثر دایکی شدن و تغییر شرایط تشکیل مسکویت باشد.

زیرکن کانی دیگر فرعی موجود توده‌ی گرانیتی است. زیرکن به دو حالت دیده می‌شود. زیرکن‌هایی که نسبت ظاهری [۱۹] نزدیک به ۱ داشته (بی‌شکل تا کروی) و دارای حاشیه‌های گستره‌ی متمایزی هستند (جدول ۳) و در بیوتیت‌های رستیتی دیده می‌شوند (نسل اول زیرکن، شکل ۱۰). زیرکن‌های نسل دوم به صورت شکل‌دار و با حاشیه‌ی بسیار ضعیف متمایزی دیده می‌شوند. این زیرکن‌ها دارای

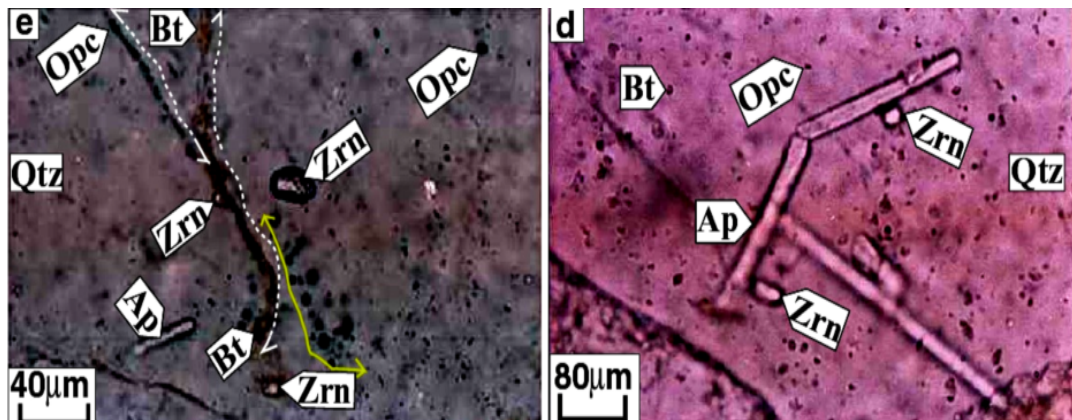
آنورتیت را نشان می‌دهد. برخی نمونه‌ها بافت میرمکیتی را در پلازیوکلازها نشان می‌دهند (شکل ۳b). این پلازیوکلازها دارای ادخال‌های شکلدارند. وجود ادخال‌های شکل‌دار در

جدول ۲ نتایج آنالیز شیمیایی نمونه‌های گرانیتی میشو، نسبت‌های مختلف عناصر و میزان کرونوم استاندارد (C Norm) و دمای اشباع زیرکن [۳۴] بر اساس (T o C)

**کانی‌های فرعی و زیرکن**  
کانی‌های فرعی سنگ‌های گرانیتی میشو شامل زیرکن، آپاتیت، اپیدوت، آلانیت، تورمالین و موسکویت‌اند. آپاتیت به صورت سوزنی - میله‌ای و شکل‌دار دیده می‌شود که در کانی - های مختلفی به صورت ادخال (خصوصاً در کوارتز) دیده می‌شود (شکل ۴d).

موسکویت به صورت بلورهای نیمه شکل‌دار تا بی‌شکل در کنار بیوتیت‌ها، ریزتر از بیوتیتها و پرکننده‌ی فضای بین فلدسپارهای قلیایی دیده می‌شوند (شکل ۱c). گستره‌های کوچک P - T تبلور مسکویت و احتمال کافی نبودن زمان

دیده می‌شوند. زیرکن‌های نسل اول به عنوان زیرکن رستیتی و به ارث رسیده از گرانیت‌ها نوع S در توده در نظر گرفته می‌شوند.



شکل ۴ زیرکن‌های ماقمایی و آپاتیت‌های میله‌ای – سوزنی در کوارتز (d، e)، زیرکن‌ها با سمت‌گیری مشخص و کرانه‌ی ضعیف متامیکتی (e).

جدول ۳ نسبت ظاهری زیرکن در کانی‌های موجود در گرانیتوئید میشو.

در میزبان بیوتیت نسل دوم (ماگمایی)	در میزبان بیوتیت نسل اول (rstیتی)	در میزبان کوارتز	در میزبان ارتوز
۳/۸	۲/۹۹	۲/۲۵	۱/۵۳
۳/۹	۳/۰۱	۲/۷۷	۱/۷۵
۳/۹	۳/۰۳	۲/۰۷	۱/۰۶
۴	۳/۰۶	۲/۰۸	۱/۰۲
۴/۱	۳/۱۳	۲/۷۵	۱/۲۵
۴/۷	۳/۱۵	۲/۹۲	۱/۶۲
۴/۷	۳/۱۷	۳/۲۶	۱/۸۳
۳/۸	۳/۲	۳/۱۶	۱/۲۸
۳/۵	۳/۲۵	۳/۰۵	۱/۶۹
۳/۶	۳/۲۶	۳/۳۱	۱/۱۱
۳/۶	۳/۳۴	۳/۳۳	۱/۸۸
۳/۶	۳/۳۶	۳	۱/۷۶
۳/۶	۳/۴۱	۲/۴۹	۱/۲۶
۳/۷	۳/۷۷	۳/۵۲	۱/۵

گارنت نیز در برخی مقاطع دیده می‌شود که می‌تواند از شکست بیوتیت حاصل شده باشد ولی اندک بودن این کانی ممکن است ناشی از کافی نبودن زمان برای شکست بیوتیت و تشکیل گارنت در اثر فرایند صعود سریع باشد. در واقع فرایند

کرانه‌های رورشی هستند (شکل ۴d، ۴e، ۳d). نسبت ظاهری این گروه بیشتر از یک بوده و در بیوتیت‌های رستیتی مشاهده نمی‌شوند، ولی در کانی‌های متفاوتی به صورت ادخال

زیرکن‌های به ارث رسیده درون بیوتیت‌های موجود در برونبوم‌های سورمیکاسه موجود در توده نیز دیده می‌شوند که احتمالاً حمل این برونبوم‌ها در اثر نیروهای وارد شده و با فرایند سریع حمل ناشی از ساز و کار دایکی شدن وابسته است.

حضور بخار را پیشنهاد می‌کند که می‌تواند از شکستن کانی‌های آبدار فراوان خاستگاه مثل بیوتیت نتیجه شده باشد. همچنین تنوع در تمرکز Rb و Sr نسبت تغییر پذیری (Variable Proportion) فلدسپار و بیوتیت باقیمانده در خاستگاه حین آناتکسی را پیشنهاد می‌کند [۲۳]. مقدار Rb در نمونه‌ها بالا بوده که از ویژگی‌های گرانیت‌های همزمان با برخورد است [۲۴]. مقدار Zr نمونه‌های توده‌ی بین مقادیر ۷۷۵ - ۴۲ ppm و میانگین ۲۲۲ ppm بوده که نزدیک به میانگین زیرکن پهنه‌ها و گریوک‌ها [۲۵، ۲۶] است (شکل ۵D). این دامنه‌ی تغییرات را می‌توان به وجود زیرکن رستیتی و Zr موجود در مذاب متبلور شده نسبت داد [۱، ۲۵]. نسبت  $\text{Al}_2\text{O}_3/\text{TiO}_2$  بالای نمونه‌ها  $22/5 - 30/5$  و میانگین  $58/1$  شاخصی از درجات ذوب بخشی بالاتر و تشکیل مذاب‌های با دمای بالا و جدایش مذاب از پروتولیت است [۲۶].

نمونه‌های توده از نظر خاستگاه در گستره‌های متاگریوکی و شبه پهنه‌ای قرار می‌گیرند که یک خاستگاه دوگانه را برای سنگ‌های توده پیشنهاد می‌کند. ویژگی‌های سنگ‌های توده، مشابه با گرانیت‌های کمربند چین خورده‌ی لاجلان استرالیا بوده و نیز دارای شباهت‌هایی با کمربند پروتروزوئیک دامارای نامیبیا هستند (شکل ۵E).

در الگوهای عناصر کمیاب، بی‌هنجری‌های منفی Sr، Nb و Ti مشاهده می‌شود (شکل ۸C, D). بی‌هنجری منفی Ti را می‌توان به ورود کانی‌های مافیک مانند بیوتیت نسبت داد که احتمالاً بیوتیت‌های رستیتی بوده‌اند.

با توجه نکات یاد شده، می‌توان به تاثیر و نقش مهم فرایند جدایش در تبلور و جدایش مذاب در خاستگاه اشاره کرد. در واقع سرعت شدید صعود باعث باقی ماندن ویژگی‌هایی اولیه مذاب شده است. از طرفی این سرعت صعود شدید باعث شده است تا آلایش پوسته‌ای کمترین تاثیر را در صعود مذاب داشته باشد. محیط‌های برخورده محبیت‌های مناسبی برای تشکیل دایک‌ها و سیستم‌های شکستگی بوده و نمونه‌های توده این ویژگی را نشان می‌دهند، و این ویژگی باعث شد تا محیط مناسبی برای ساز و کار دایکی شدن با انتشار شکستگی‌ها به وجود آید. معمولاً در محیط‌های برخورده، ساز و کار اصلی صعود مذاب گنبدی است، و تنها ساز و کار صعود نیست. علاوه بر گنبدی، محیط‌های تراکشی و گسله‌های موازی با راستای

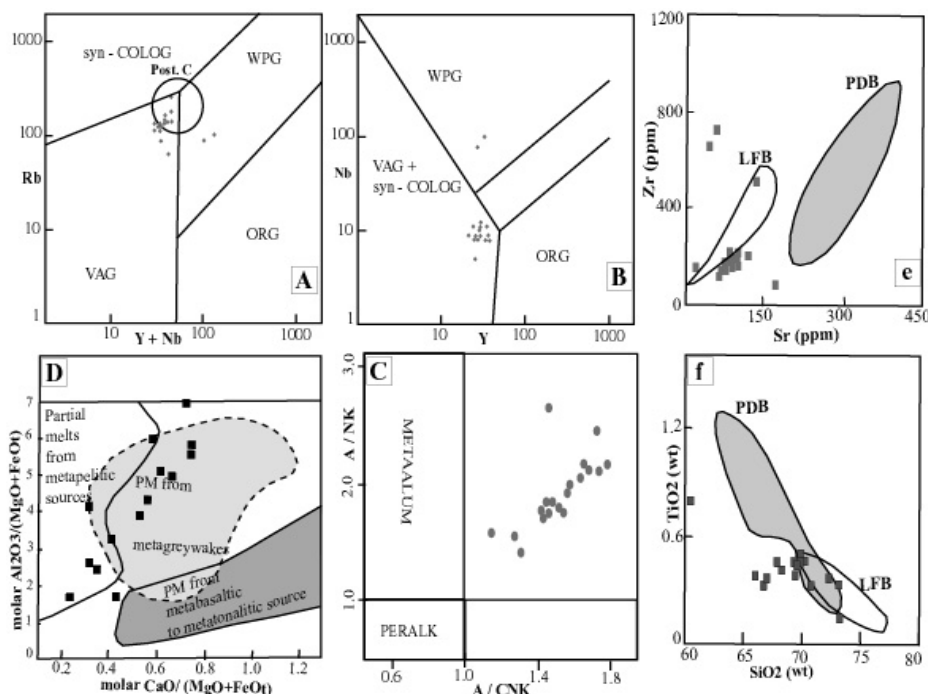
سریع صعود می‌تواند شرایط شکست بیوتیت و تبدیل آن به گارنت را تغییر داده باشد. اپیدوت کانی‌فرعی است که به صورت کانی‌های نیمه شکل-دار با حواشی کمی انحلال یافته، در حد فاصل مرز بیوتیت و فلدسپار دیده می‌شود. لازم به یادآوری است که این اپیدوت‌ها بر روی بیوتیت و پلازیوکلаз مشاهده نمی‌شوند. در مقاطع دارای این کانیها، میرمکیتی شدن پلازیوکلاز در حاشیه و مرکز، فراوانی ادخال‌های بیوتیت در پلازیوکلاز و فلدسپار قلیایی و تکه‌های میکروکلین در ارتوکلاز دیده می‌شود. لازم به یادآوری است که اپیدوت‌های دگرنهادی در طی دگرسانی و از کانی‌هایی نظیر پلازیوکلاز، بیوتیت، آمفیبول و ... ایجاد می‌شوند. مرز مشخص اپیدوت با کانی‌های بیوتیت و فلدسپار، نیمه شکل‌دار بودن و کرانه‌های کمی انحلال یافته اپیدوت، این اپیدوت‌ها ماقمایی هستند. پوشش یافتن اپیدوت و آلانیت با بیوتیت و یا انبوه‌های فلدسپار پتاسیم باعث شد تا رشد این دو کانی سریعتر از انحلال آن‌ها باشد و پوشش آن‌ها از جذب کامل این کانی‌ها به وسیله مذاب جلوگیری کرده‌اند. اپیدوت تنها در مقاطع با تکه‌های میکروکلین درون ارتوکلاز و بافت میرمکیتی دیده می‌شود که در این نمونه‌ها کانی‌های اکسیدی Fe - Ti به صورت اولیه دیده نمی‌شوند. اپیدوت‌های ماقمایی اغلب در گرانیت‌وئیدهای پالئوزوئیک تا کامبرین گزارش شده‌اند [۱۱، ۱۲] و منابع موجود در آن‌ها [۱۰] که با سن نسبی توده مورد بررسی [اهرسی نین ۱۰] نیز سازگار است.

### اختصاصات ژئوشیمیایی توده

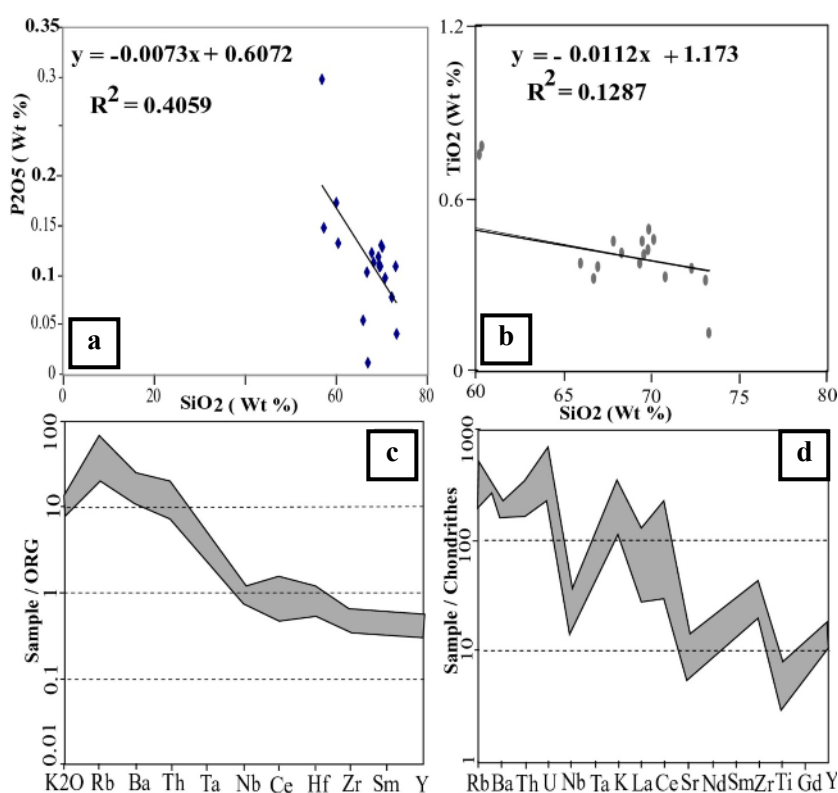
براساس داده‌های ژئوشیمیایی، نمونه‌های توده (جدول ۱) به شدت پرآلومینیوم بوده ( $\text{A/CNK} = ۲,۳۵ - ۱,۴$ ) و در گستره‌ی گرانیت‌های همزمان و پس از برخورد ( $۵\text{C}, ۵\text{B}, ۵\text{A}$ ) قرار می‌گیرند. میزان کرونдум نرماتیو بیشتر از  $۳,۵۲\%$  بوده و در اغلب نمونه‌ها به نسبت  $\text{K}_2\text{O}/\text{Na}_2\text{O} > ۱$  است. روند منفی تغییرات  $\text{SiO}_2$  نسبت به  $\text{TiO}_2$  در نمونه‌ها شاخصی از منطقه-بندی ترکیبی سنگ‌های توده [۲۰] و همبستگی منفی  $\text{P}_2\text{O}_5$  و  $\text{SiO}_2$  در نمونه‌ها (شکل ۶A) شاخصی از فعالیت پایین است [۲۱]. نسبت  $\text{Rb/Sr}$  در نمونه‌ها بین  $۸/۱ - ۲/۰$  و میانگین  $۱/۰$  بوده که بر اساس [۲۲، ۲۳]، تشکیل مذاب با

های مخروطی در سازند کهر، [۱۰] به نظر می‌رسد که ساز و کار گنبدی شدن نقش اصلی را نداشته و نقش سیستم‌های گسله در انتقال مواد مذاب از طریق دایکی شدن و انتشار شکستگی‌ها به سطح بیشتر بوده است.

بیشینه تنش نیز می‌تواند در انتقال مواد مذاب از عمق به سطح نقش داشته باشند. در منطقه‌ی مورد بررسی با توجه به نزدیکی این توده به گسله تبریز، گسله‌های جنوبی و شمالی می‌شو و عدم مشاهده ساختارهای واپسیه با گنبدی (مانند چین خورده) -



شکل ۵ نمونه‌های توده‌ی گستره‌ی گرانیت‌های کمان آتشفسانی و محیط برخورده را نشان می‌دهند (نمودارها بر اساس [۲۴] a, b, e, f), نمونه‌های توده همسان نزدیک به نمونه‌های گرانیت مشاهده شده در کمربند چین خورده‌ی لاجلان استرالیا (LFB) و کمربند پروتوزوئیک دامارا نامیبیا (PDB) دارند (c), گستره‌های گرانیت‌های این نواحی از [۲۰] اقتباس شده‌اند. سنگ‌های توده‌ی به شدت پرآلومینیوم بوده (e, f, بر اساس [۲۴]) و از نظر خاستگاه در گستره‌ی متاگریوک‌ها و متاپلیت‌ها قرار می‌گیرند (d) این گستره‌ها از نمودارهای [۲۳] اقتباس شده‌اند.



شکل ۶ روند منفی بین  $\text{SiO}_2$  و  $\text{P}_2\text{O}_5$  و الگوهای عناصر کمیاب مشاهده شدهی نمونههای تودهای که نسبت به ORG و کندریت (بر اساس [۲۴]) بهنجار شدهاند.

ویژگیهای موجود در نسل اول بیوتیتها به محتوای شیمیایی بیوتیت یا برخی عناصر درون بیوتیت (مثلًا  $\text{TiF}$ ) یا فعالیت آب [۴] و فوگاسیته اکسیژن [۲۱] نسبت داده شده است. از طرفی باقی ماندن بیوتیت با توجه به پایداری تا دمای بالا، همزیستی با مذاب [۴] و شاید صعود سریع مذاب و امکان حمل آن توجیه می‌شود. وجود بیوتیتها کوچک به صورت ادخال در کانیهای دیگر را می‌توان به تبلور در حالت‌های تحت اشباع از آب نسبت داد [۴]. تخریب بیوتیت در دگرگونی در تولید ماقما خصوصاً نوع S نقش داشته [۲۴، ۲۳] و باقی ماندن بیوتیت به صورت رستیت مستلزم جدایش سریع مذاب تشکیل شده، فراوانی بیوتیت درین تبلور خاستگاه و عوامل مؤثر در پایداری بیوتیت در حین تبلور ماقمایی است. این حالت‌ها در محیط‌های برخورد صفحات لیتوسفری و یا همزمان با برخورد و پروتولیت مناسب به مقدار کافی فراهم است.

محتوای آنورتیت در پلازیوکلازهای توده از مرکز به حاشیه به صورت تدریجی کاهش نشان می‌دهد (جدول ۲) که آن را می‌توان به کاهش فعالیت آب [۴] نسبت داد. کاهش فعالیت و محتوای آب در ماقما را می‌توان ناشی از تشکیل شکستگی‌ها و دایکی شدن دانست. فعالیت پایین آب باعث تشکیل مذاب با ترکیب کوارتز، فلدسپار قلیایی و پلازیوکلاز [۴] می‌شود که با تودهی مورد بررسی اخیر نیز سازگار است.

حضور آپاتیت در کانیهای متفاوت به صورت ادخال در نمونههای توده می‌تواند نشانگر فراوانی  $\text{P}_2\text{O}_5$  طی روند تبلور باشد [۲۰]. از طرفی وجود شکل‌های سوزنی و میله‌ای و کشیده‌ی آپاتیت در کانیهای مختلف و خصوصاً کوارتزهای پراکنده و پرکننده‌ی فضای بین بلوری را می‌توان به تغییرات سریع طی تبلور مذاب نسبت داد [۱۵] که با پایین بودن چسبندگی ماقما (در اثر فراوانی  $\text{P}_2\text{O}_5$  [۲۰]) حین تبلور متاثر از صعود سریع ناشی از دایکی شدن امکان‌پذیر است. از طرفی جدایش کانیهای رستیتی (در نمونههای توده شامل زیرکن و بیوتیت) را می‌توان نشانگر چسبندگی بالای ماقما [۲۷] در

### بحث، برداشت، و مدل پیشنهادی نهایی

وجود ویژگی‌های ژئوشیمیایی هنگامی که با مباحثه سنگ- نگاشتی و زمین‌شناسی صحرایی تلفیق و همراهی شود، آنگاه در تحلیل نهایی نقش ارزندهای خواهد داشت. با توجه به موارد ژئوشیمیایی یاد شده و تحلیل‌های پتروژئنزی مبتنی بر کانی- شناسی توده که در ادامه ذکر شدهاند، می‌توان برداشت نهایی را در مورد ساز و کار تشکیل توده را عنوان کرد.

وجود خودگی‌های خلیجی در بلورهای کوارتز در نمونه‌ها وجود خاموشی موجی در برخی کوارتزها به ترتیب می‌تواند ناشی از تغییرات حالت اوتکتیک کوارتز - فلدسپار قلیایی با تغییر فشار در حین جای‌گیری ماقما در سطوح مختلف پوسته [۱۴] و به وجود فشارهای در حین جای‌گیری و یا به فشار ماقمای در حال تبلور [۶] باسته باشد.

وجود ارتوز پرتریتی و تکه‌های میکروکلین درون ارتوز در نمونه‌ها بیانگر تغییرات فشار حین بالآمدگی یا ترریق تودهاند [۱۶، ۱۷]. وجود ارتوکلاز پرتریتی به صورت رشته‌ای و ریسمانی و بدون دگرسانی در نمونه‌های توده، شاخصی از جدایش گسترده‌ی آلبیت در فلدسپار پتاسیک است [۱۵]. تشکیل آلبیت - ارتوکلاز در کنارهای در نمونه‌های توده می‌شود بحث به افزایش مقادیر  $\text{P}_2\text{O}_5$  [۱۸، ۱۹]، کاهش چسبندگی [۲۰]، کاهش مقدار و کاهش فعالیت آب [۴] و احتمالاً صعود سریع مذاب وابسته است. همچنین وجود تکه‌های میکروکلین درون ارتوکلاز و همراهی با بافت‌های میرمکیتی، وجود پرتریتیها درون ارتوکلاز و میکروکلین در برخی نمونه‌های توده را می‌توان به وجود فشارهای ناشی از فشار مذاب به بخش‌های جامد و متبلور شده [۱۵] و یا فشار ناشی از زمین‌ساختی خود ماقما، نیروی شناوری و حرکت سریع مذاب و بخش جامد تشکیل شده نسبت داد که در این حالت با خاموشی موجی در کوارتز [۱۵] و پیدایش اپیدوت [۱۲] همراه است. موارد یاد شده در نمونه‌های توده نیز مشاهده می‌شوند.

۷d۷، ۷f۷، ۷h۷). همراه با کاهش فعالیت و حجم آب مذاب، اپیدوت ماگمایی تشکیل شده و با بیوتیت و فلدسپار در برگرفته شده و از ذوب و انحلال در امان مانده است. دایکی شدن و انتشار شکستگی‌ها باعث صعود سریع مذاب شده است که نتیجه‌ی این فرایند بهصورت کاهش محتوای آنورتیت پلاژیوکلازها، تشکیل اپیدوت‌های ماگمایی، ادخال‌های فراوان شکل‌دار، زیرکن‌ها و بیوتیت‌های ماگمایی و تشکیل ارتوکلاز و آلبیت (تشکیل با تفاوت زمانی احتمالی یا تغییرات شرایط ترمودینامیکی در خاستگاه) در کنار هم حاصل شده است. همزمان با فشارهای موجود حین صعود سریع، احتمالاً هم رشدی‌های بیوتیت و کوارتز، قطعات میکروکلین درون ارتوکلاز، خاموشی موجی برخی کوارتزها و بافت‌های میرمکیتی شکل نیز حاصل شده است (شکل ۷k). کلیست‌ها در مراحل پایانی صعود و جای‌گیری به صورت قطعاتی درون مذاب حین تبلور افتاده (زینوکریست) و متبلور شده‌اند (شکل ۷g).

وجود فشارهای متعدد خصوصاً در کرانه‌های همگرا و مناطق برخوردی نیز عاملی تسهیل کننده در صعود ماگما در کنار ساختارهای زمین‌ساختی بوجود آمده ناشی از این فشارهاست. اصولاً در مناطق فشارشی و برخوردی، بسته به مسیر و جهت فشار، دایکی شدن می‌تواند در مسیر موازی با تنش بیشینه وارد بر منطقه صورت گیرد. در این حالت فشار به حداقل می‌رسد. این نکته تناظر احتمالی امکان انجام فرایند دایکی شدن در یک منطقه برخوردی و فشارشی را حل خواهد کرد.

هندسه‌ی توده‌ی گرانیت‌وئیدی می‌شود، نعل اسپی و حالت طویل شده‌ی توده، ویزگی‌های کانی‌شناسی و ژئوشیمیایی توده همراه با نبود ساختارهای سینگی مجاور مانند ناودیس‌های حاشیه‌ای و فقدان چین خوردگی‌های مخروطی سازند کهر در مجاور توده، نزدیکی به گسل‌های بزرگ، دلایل زمین‌شناسی تاثیر ناچیز گنبدی در جای‌گیری و انتقال مذاب، مولد توده‌اند. با توجه به نتایج این کار پژوهشی، ساز و کار و انتقال مذاب و مدل تشکیل گرانیت‌وئید می‌شود به فرایند دایکی شدن همراه با گسترش شکستگی‌ها و آثار ناچیز گنبدی شدن نسبت داده می‌شود.

قدرتانی

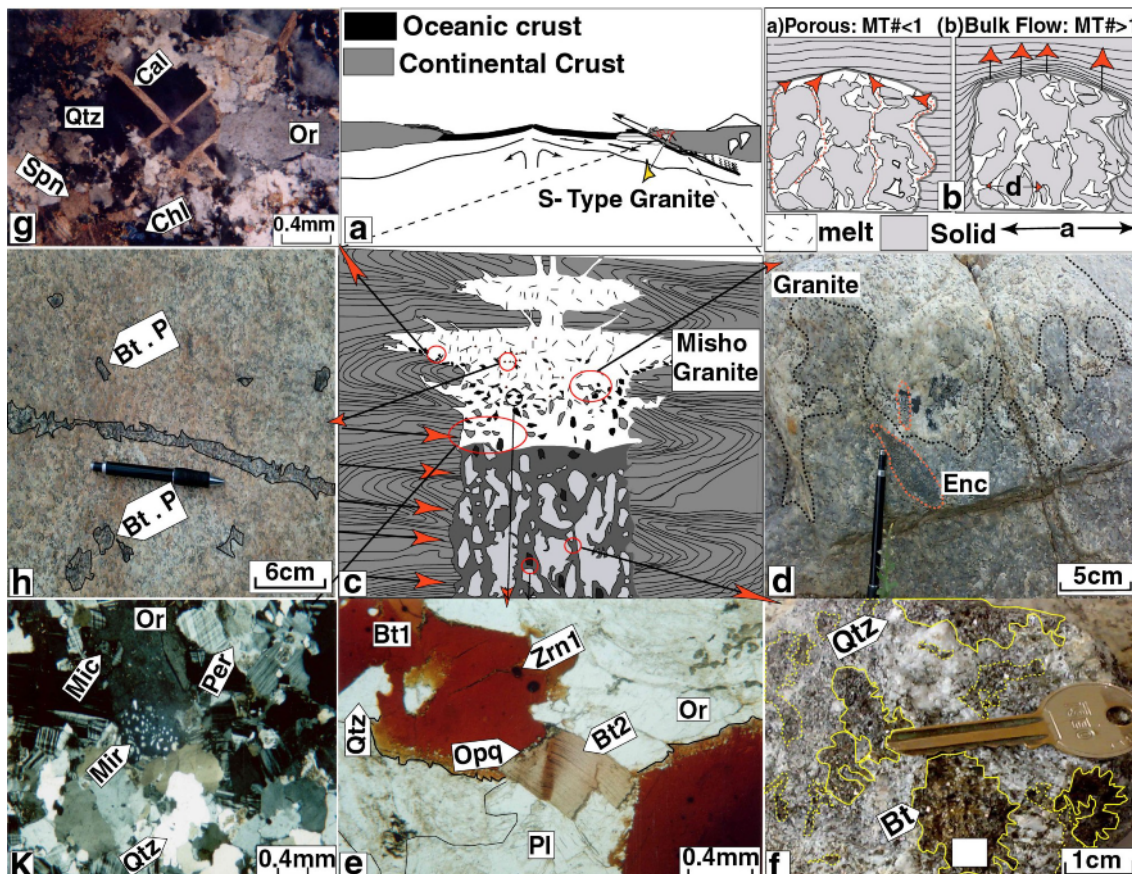
منطقه خاستگاه عنوان عامل مهم در جدایش رستیت‌ها دانست. در منطقه‌ی خاستگاه، مذاب به مرور با تشکیل دایکها و شکستگی‌های متعدد، امکان مهاجرت سریع را پیدا کرده است. در این وضعیت چسبندگی حین صعود کاهش یافته و دایکها مسیر مناسب عبور آبگون بوده‌اند.

وجود اپیدوت ماگمایی در نمونه‌های توده، ابزار مفیدی برای برآورد فوگاسیته‌ی اکسیژن و نرخ بالا آمدگی و صعود مذاب است [۱۱، ۲۸-۳۰]. اپیدوت ماگمایی در ماگماهای اشباع از آب و فوگاسیته بالای اکسیژن میدان پایداری گستردۀ‌ای دارد [۲۸]. به دلیل انحلال سریع اپیدوت در ماگماهای گرانیتی [۱۱، ۲۹] حضور اپیدوت ماگمایی نشانگر احتمالی بالا آمدگی و صعود سریع در نتیجه دایکی شدن (و کمتر گنبدی) است [۱۱، ۱۲]. وجود اپیدوت تنها در مقاطع با تکه‌های میکروکلین درون ارتوکلاز و بافت میرمکیتی و فقدان کانی‌های اکسیدی Fe - Ti -  $\text{CO}_2$  بهصورت اولیه در این نمونه‌ها می-تواند نشانگر فعالیت پایین [۳۱-۳۸] و وجود مناطق با فوگاسیته بالای اکسیژن [۳۲، ۳۵] و یا حضور شاره‌های اکسیدی [۳۶، ۳۷] باشد که این تأثیر را می‌توان ناشی از شاره‌های اکسیدی بالا آمدۀ از منطقه‌ی فرورانش [۳۲، ۳۵-۳۷] دانست. همچنین وجود ساختارهای خلیجی در کانی‌های آلانیت و اپیدوت در نمونه‌های توده بیانگر نرخ سریع صعود ماگما [۱۱] در اثر دایکی شدن [۲۸] است. ارتباط ساختاری بیوتیت و اپیدوت نیز می‌تواند بیانگر همزمانی تبلور بیوتیت و اپیدوت باشد [۳۳].

با جمع‌بندی نکات یاد شده در شکل نموداری (شکل ۷c, ۷b, ۷a) مدل پیشنهادی تشکیل توده ارائه شده است. در منطقه‌ی خاستگاه با توجه به ترکیب‌های آماده‌ی مستعد موجود در خاستگاه (متاگریوک‌ها و متاپلیت‌ها) شرایط ذوب فراهم شده است. بیوتیت‌ها در مقابل ذوب بخشی مقاومت کرده و در اثر فشارهای محیط برخوردی، جدایش مذاب از خاستگاه انجام گرفته است. تشکیل دایکها و شکستگی‌ها همراه با افزایش  $\text{P}_2\text{O}_5$  (در نتیجه‌ی کاهش چسبندگی در حین صعود مذاب [۲۰]) و همراه با فشارهای یاد شده، محیط مناسب صعود (شکل ۷a) را فراهم کرده است. در این حالت برونبوهم‌های عدسی شکل با کرانه‌های دندانه‌دار و بریده، بیوتیت‌ها و زیرکن‌های رستیتی در مذاب باقی مانده و حمل شده‌اند (شکل

ایشان نیز تشکر می‌شود. دانشگاه تبریز و دکتر علی عامری به ترتیب در امور مالی و آزمایشگاهی مساعدت‌های بی‌دریغی داشتند که شایسته تقدیرند. نظرهای ارزنده داوران ناشناس این پژوهش شایسته تقدیر است.

این کار پژوهشی بدون راهنمایی‌های علمی و روش‌نگرانه استاد محترم دکتر محسن مودن از دانشگاه تبریز میسر نمی‌شد. بدینوسیله از ایشان تقدیر ویژه می‌شود. همچنین دکتر ان السن و جی دروپ به ترتیب از دانشگاه‌های جان هابکینز و منجستر نیز در تحلیل‌ها و مدل نهایی نظرهای ارزنده‌ای داشتند از



شکل ۷ مدل نموداری ارائه شده از تشکیل توده در محیط فشارشی و برخوردی (a)، فرایند دایکی شدن و انتقال مذاب به صورت نموداری و در مقیاس کوچک (b)، توضیحات کامل از منبع [۲]، مدل نموداری تشکیل توده در نتیجه دایکی شدن (c)، با اقتباس از مدل ارائه شده توسط [۲] که برای توده‌ی میشو تعیین داده شده است، تشکیل برونبوم‌های بیضوی و دوکی شکل (d)، دونسل بیوتیت (e) در کنار هم که نسل اول رستیتی بوده و دارای برونبوم‌های زیرکن با کرانه‌ی گستره‌ی متامیکت شده است ( $Zrn_1 = Zrn_1$ )، کرانه‌های نسل اول  $Bt_1$  و  $Bt_2$  (Bt<sub>1</sub> = بیوتیت‌های نسل اول و دوم)، کرانه‌های بردیه و دندانه‌دار برونبوم‌ها در نمونه‌ی دستی و غنای کانی‌های میکائی تیره در برونبوم‌ها (f)، تشکیل و رشد زینوکریستهای کربناتی در اثر افتادن درون مذاب (g)، تشکیل انبوه‌های بیوتیت درون سنگ‌های توده (h)، تشکیل میرمکیت، پریتیت و تکه‌های میکروکلین درون کانی‌های ارتوز در کنار هم (k) = پریتیت،  $Per = Per$ ،  $Mir = Miroklin$ ،  $Mic = Mirkomikit$  و  $Mic = Mirkomikit$ . فرایندها و چگونگی تشکیل هریک از موارد یادشده به وسیله‌ی دوایر و پیکان‌های سرخ شبیه‌سازی شده‌اند. توضیحات جامع تر برای هر بخش در متن ارائه شده‌اند.

*zone for granite plutons; the competing dynamics of melt transfer by bulk versus porous flow. Translation of royal society of Edinburgh; Earth sciences”, 95, (2004) 49-58 .*

[3] Rene M., Matejka D., Nosek T., “Geochemical constraints on the origin of a distinct type of two –

#### مراجع

- [1] Clemens J. D., “S-type granitic magmas-petrogenetic issues, models and evidence, Earth-Science Reviews”, 61(1-2), (2003) pp. 1-18.
- [2] Olsen S.N., marsh B.D., Baumgartner L.P., “Modeling mid crustal migmatite terrains as feeder

"Geochronological and mineralogical constraints on depth of emplacement and ascencion rates of epidote-bearing magmas from northeastern Brazil", Lithos 105, (2008) 225–238

[13] Kretz R., "Symbols for rock forming minerals", Am. Mineral. 68, (1983) 277 – 279

[14] Shelly D., "Igneous and metamorphic rocks under the microscope", Chapman and Hail, (1993).

[15] R.H. Vernon, S.R. Paterson, "How late are K-feldspar megacrysts in granites?", Lithos 104, (2008) 327–336

[16] Vernon R.H., "Quartz and feldspar microstructures in metamorphic rocks", Canadian Mineralogist 37, (1999) 513 – 524.

[17] Vernon R.H., "A Practical Guide to Rock Microstructure", Cambridge University Press, (2004) Cambridge.

[18] Ashworth J. R., Mclellan E.L., "textures, in : Ashworth, J. D. (ed) migmatites, blackie and Son, Glasgow", (1985) 180-203.

[19] Dugan T. W., "Textural reletions in melanosomes of selected specimens of migmatitic pelitic schists: implications for leucosome-generation processes", Cont. Mm. Pet., 83, (1983) pp. 82-98.

[20] Xu Cheng., Huang Z., Qi, L. Fu, P. Liu, C., Li, E., Guan T., "Geochemistry of cretaceous granites from Mianning in the Panxi region,Sichuan Province southweast china:Implications for their generation", Journal of Asian Earth Sciences 29, (2007) 737-750

[21]Kalsbeek F., Jepsen H.F., Jones A., "Geochemistry and petrogenesis of S-type granite in East Greenland Caledonides", Lithos,57, (2001a) 91-10

[22] Harris N., Inger S., Massey J., "The role of fluids in the formation of high Himalayan leucogranite.In: Treloar", P.J., Searle M.P. (Eds.) Himalayan Tectonics. Special Publication Geological society of London, vol.74, (1993) pp. 391-400.

[23] Kalsbeek F., Hans F., Jepsen Allen P., Nutman "From source migmatites to plutons: tracking the origin of ca. 435 Ma S-type granites in the East Greenland Caledonian orogen." Lithos, Volume 57, Issue 1, (2001b), 1-21

mica granites (Destna – Lasenice type) in Moldanubian batholith (Czech Republic)". Acta Montana,Ser. A 130, (2003) 59 – 76 .

[4] Rene M., Holtz F., Luo C., Beermann Stelling J., "Biotite stability in peraluminous granitic melts: Compositional dependence and application to the generation of two – mica granites in the South Bohemian batholiths (Bohemian Massif", Czech Republic). Lithos, 102, (2008) 538 – 553.

[5] Vigneresse J.L., Clemens J.D., "Granitic magma emplacement neither diapirism nor neutral buoyancy." In: Vendeville, Y., Mart, Y., Vigneresse, J.-L. (Eds.), From the Arctic to the Mediterranean: Salt, Shale and Igneous Diaps In and Around Europe. Special Publication of the Geological Society of London, vol. 174. Geological Society Publishing House, Bristol, (2000) pp. 1– 19.

[6] Clemens J.D., Mawer C.K., "Granitic magma transport by fracture propagation." Tectonophysics 204, (1992) 339-360

[7] Petford N., Kerr R.C., Lister J.R., "Dike transport of granitic magmas.Geology 21", (1993) 843-845

[8] Scaillet B., Pecher A., Rochette P., Champenois M., "The Gangotri granite (Garhwal Himalaya): lacolithic emplacement in an extending collisional belt." J.Geophys.Res.,[Soild Earth] 100, (1995) 585-607

[9] Clemens J.D., "Observation on the origins and ascent mechanisms of granitic magmas", J.GeoL.Soc.(Lond.) 155, (1998) 843-851.

[۱۰] موبید محسن، مودن محسن، کلاغری علی اصغر، حسین زاده قادر، "کانی شناسی و پترولوجی توده گرانیتیوئیدی میشو(جنوب غرب مرند- آذربایجان شرقی) و اهمیت رئودینامیکی آن" ، سیزدهمین همایش انجمن بلورشناسی و کانی شناسی ایران. دانشگاه کرمان. (۱۳۸۴)، ص ۱۴۱-۱۴۶

[11] Sial A.N., Toselli A.J., Saavedra J., Parada M.A., Ferreira V.P., "Emplacment,petrological and magmatic susceptibility characteristics of diverse magmatic epidote-bearing granitoid rocks in Brazil", Argentina and Chile.Lithos46, (1999) 367-392.

[12] Alcides N. Sial, Paulo M. Vasconcelos, Valderez P. Ferreira, Ricardo R. Pessoa, Roberta G. Brasilino, João M. Moraes Neto.,

- subducted continental crust : Petrology , mineral chemistry and fluid inclusion of UHP metamorphic veins from the Sulu orogen, eastern China ”, Geochemica et Cosmochimica Acta, 72 , (2008) 3200 – 3228.*
- [33] Evans B W., Vance J.A., “*Epidote phonocrysts in dacitic dikes*”, Boulder country, Colorado. Contrib. Mineral. Petrol. 96, (1987) 178–18
- [34] Watson E.B., Harrison T.M., “*Zircon saturation revisited:temperature and composition effects in variety of crustal magma types*”, Earth Planet.Sci.Lett.64: (1983) 295-304.
- [35] Patino Douce A. E., Beard J. S., “*Dehydration-melting of biotite gneiss and quartz amphibolites from 3 to 15 kbar*”, J. Petrol. 36, (1995) 707-738.
- [36] Patino Douce A. E., Johnston A. D., “*Phase equilibria and melt productivity in the pelitic system: implications for the origin of peraluminous granitoids and aluminous granites*”, Contrib. Mineral. Petrol, (1991) 107: 202-218.
- [37] Clemens J.D., Vielzeuf D., “*constraints on melting and magma production in the crust*” .Earth Planet.Sci.Lett. 86, (1987) 287 – 306
- [38] Clemens J.D., Watkins J.M., “*The fluid regime of hightemperature metamorphism during granitoid magma genesis*”, Contrib. Mineral. Petrol. 140, (2001) 600–606.
- [24] Pearce A., Harris N.B., Tindle A.G., “*Trace element discrimination diagrams for the tectonic interpretation of granitic rocks.*”, Journa.Petrol.25: (1984) 956-983.
- [25] Talor S.R., McLennan S.M., “*The continental crust: its composition and evolution*”. Blackwell, Oxford 1985.
- [26] Sylvester P.J., “*Post – collisional strongly peraluminous granites*”, Lithos 45, (1998) 29 – 44
- [27] Chappel B.W., White A.J.R., Wyborn D., “*The importance of residual source material (restites) in granite petrogenesis*”, Journal of Petrology 28, (1987) 1111–1125
- [28] Schmidt M.W., Thompson A.B., “*Epidote in calc-alkaline magmas: and experimental study of stability*”, phase relationship, and the role of epidote in magmatic evolution.American Mineralogist 81, (1996) 424-474
- [29] Brandon A.D., Creaser R.A., Chacko T., “*Constrain on rates of granitic magma transport from epidote dissolution kinetic*”, science 271, (1996) 1845-1848
- [30] Weinberg R.F., Sial A.N., Pessoa R.R., “*Magma flow within the Tavares pluton, NE Brazil: compositional and thermal convection*” Geological Society of America Bulletin 113, (2001) 508–520.
- [31] Ghent E.D., Nicholls J., Simony P.S., sevigny J.H., Stout M.Z., “*Hornblende geobarometry of the Nelson Batholith,southeastern British Columbia:tectonic implications*”, Can.J.Earth science.2, (1991) 1982-19
- [32] Zhang Z., Shen K., Sun W.D., Liu Y.S., Lio J.G., Shi C., Wang J.L., “*Fluid in deeply*